

## 吊橋トラス構造断面のガスト空力屈げ振れ応答について

京都大学工学部 正員 白石 成人 京都大学工学部 正員 松本 勝  
 京都大学大学院 学生員・森野 純彦 京都大学大学院 学生員 金川 昌義

### 1. まえがき

吊橋補剛桁のガスト不規則振動は入力としての変動風速の3次元変動弹性、揺れ振動との連成、あるいは入力の非定常性などにより影響を受けるものと考えられる。本報ではこれら諸条件がガスト曲げ応答推定におけるばく効果を調べることを目的とし、風洞実験データを用いた数値計算を行ない検討を加える。

### 2. 風洞実験

風洞実験は風洞上流部に格子を設置し、格子の下流2.5mの地点にトラス構造断面を鉛直支持して行なった。変動風速は熱線風速計により測定し、その観測点は模型の前端より54cm上流、スパン方向にスパン長さとした。応答は曲げ揺れと自由度系としてこの字形ゲージにより測出した。なお模型の諸元を表1に示す。さらに格子乱流の空間相關特性を調べるために主流方向およびスパン方向について種々の距離をもつ2点間の変動風速をデータレコーダーに同時に録し、AD変換した後電算で用いてコーナーレンスを求めた。

### 3. 計算方法

3次元的な変動風速による変動揚力は準定常的に取扱えるものと仮定し、静的空気力係数および変動風速の空間的な広がりによる空気力の減衰効果としての2点間の変動風速のコヒーレンスを用いて以下の式で表わせると仮定する。

$$L_u(\tau) = - \rho b C_d \int_0^l U(z) \int_0^z F^{-1} \{ |H_{2u}(\omega)| |H_{3u}(\omega)| \} u(T, z) dT dz \quad (1)$$

$$L_w(\tau) = - \rho b \frac{dG}{dx} \int_0^l U(z) \int_0^z F^{-1} \{ |H_{2w}(\omega)| |H_{3w}(\omega)| \} w(T, z) dT dz \quad (2)$$

(  $F^{-1}$ ; 逆フーリエ変換を表す )

$$L_\phi(\tau) = \rho U b^2 l \frac{dG}{dx} \dot{\phi}(\tau), \quad L_\psi(\tau) = \rho U^2 b l \frac{dG}{dx} \dot{\psi}(\tau) \quad (3)$$

$$\text{ここで}, \quad |H_{2\tilde{x}}(\omega)| = \left\{ \frac{2}{X_{\tilde{x}\tilde{x}}} (X_{\tilde{x}\tilde{x}} - 1 + e^{-X_{\tilde{x}\tilde{x}}}) \right\}^{1/2}, \quad X_{\tilde{x}\tilde{x}} = k_{\tilde{x}\tilde{x}} l n / U \quad (4)$$

$$|H_{3\tilde{x}}(\omega)| = \left\{ \frac{2}{X_{\tilde{x}\tilde{x}}} (X_{\tilde{x}\tilde{x}} - 1 + e^{-X_{\tilde{x}\tilde{x}}}) \right\}^{1/2}, \quad X_{\tilde{x}\tilde{x}} = \tilde{x} k_{\tilde{x}\tilde{x}} b n / U \quad (5)$$

(  $\tilde{x}$ ;  $u$ ,  $w$  )

(1), (2)の場所を固定すれば、曲げ変位は Duhamel 積分による  $\eta_u(t)$  、モード  $\psi$  の  $\eta_\psi(t)$  で表される。

$$\zeta(t) = \zeta_0(t) + \eta_u(t) + \eta_w(t) + \eta_\phi(t) + \eta_\psi(t) \quad (6)$$

NOTATION	DIMENSION	SIGN	VALUE
SPAN LENGTH	m	1	0.93
CHORD LENGTH	m	0	0.3
MASS PER UNIT SPAN LENGTH	Kg.m <sup>2</sup> .sec <sup>4</sup> /m	n	0.277
MOENT OF INERTIA PER UNIT LENGTH	Kg.m.sec <sup>2</sup> /m	1	0.0207
HEIGHT OF STIFFENING GIRDERS	m	h	0.106
NATURAL FREQUENCY (BENDING)	sec <sup>-1</sup>	$\nu_{n_0}$	2.243
NATURAL FREQUENCY (TORSION)	sec <sup>-1</sup>	$\nu_b$	4.188
DAMPING RATIO (BENDING)		$\zeta_{n_0}$	0.00457
DAMPING RATIO (TORSION)		$\zeta_b$	0.00069
SLOPE OF LIFT COEFFICIENT (TORSION)	$\frac{dC}{d\alpha}$	$C_{\alpha}$	4.768
DRAG COEFFICIENT	$C_D$	$C_D$	0.865
SLOPE OF FORCE COEFFICIENT	$\frac{dC}{d\alpha}$	$C_{\alpha}$	5.03

表 1

スパン長さ  $U=6 \text{ m/sec}$  の場合

Grid A

Grid B

Grid C

Grid D

Grid E

Grid F

Grid G

Grid H

Grid I

Grid J

Grid K

Grid L

Grid M

Grid N

Grid O

Grid P

Grid Q

Grid R

Grid S

Grid T

Grid U

Grid V

Grid W

Grid X

Grid Y

Grid Z

図 1

ただし、(6)は初期値の影響を表わす。

$$C_{\tilde{x} \tilde{x}}(t) = \int_0^t h(t-\tau) L_{\tilde{x}}(\tau) d\tau \quad (\tilde{x}; u, w, g, s)$$

ここで  $h(t)$  は運動系の伝達関数である。

#### 4. 計算結果

図 1 は実験に用いた格子による運動風速のスペクトルである。鉛直運動風速は  $25.4 \pm 2.2$  m/sec ほどといふと“絶滅”みられたといふが、平均風速が下がるにつれて  $\sigma - k$  は絶滅波数側に移動する。図 2 は鉛

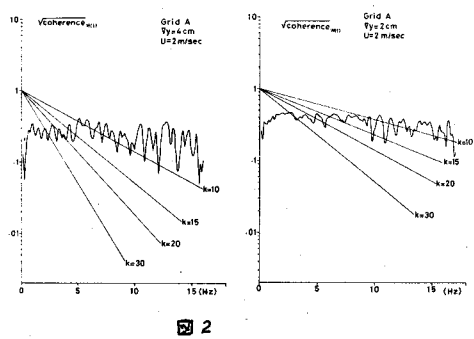


図 2

直運動風速のスペクトルの 2 点間のコーヒーレンスの平方根を示す。運動風速の空間的分布が  $k$  によつて絶滅を表わす指數  $\sigma - k$  を用ひた場合を図中で直線で表わした。コ

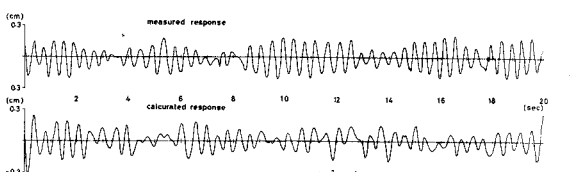


図 3

ーヒーレンスの計算精度上の問題が残されているか、系の固有振動数付近で一致させるにすれば  $k$  は  $20 \sim 30$  と考えられる。計算では  $k = 20$  を用いた。図 3 は (1)～(6) 式により計算した応答の一例である。実測値と計算結果とは最初の 3 秒半でぐらいを除いて位相、振幅とともにあまり一致していない。この原因は実測における運動風速が 3 次元的な乱れであるため 2 地点の運動風速の観測では十分に全体の揚力を表わし得ないこと、また実験において曲げ振動と同時にローリング運動が生じ、2つの固有振動数が比較的近いことからうなりの発現がみられるこれが応答とよく合致されたことなどが考えられる。図 4 は Duhamel 積分により、いくつかの仮定の下で計算した応答のスペクトルである。

また図 5 は A.G. Davenport の方法により求めた応答のスペクトル計算結果である。これらの図をみれば Duhamel 積分により計算した応答は時間軸がはずしても実測値と一致しないが、ペアーノペアルのビーカーに注目すれば比較的よく一致しているものと考えられる。一方、Davenport の方法ではかなり過大評価しているといふ結果が得られた。この原因は周波数応答関数を絶続的評価していること、運動風速の非定常性の問題などが考えられるが、これらについて今後検討していく予定である。

#### 5. おさじ

揚力を準定常的に取り扱い、運動風速の空間分布による絶滅効果としてコーヒーレンスを用ひ、Duhamel 積分によつて計算した応答の分散値あるいはペアーノペアルのビーカーは実測値とよい一致がみられた。Davenport の方法による応答の計算結果はかなり過大評価を与えた。この点が明らかになつた。